

ЖС
53
А92

АКАДЕМИЯ НАУК СОЮЗА ССР
ГОСУДАРСТВЕННЫЙ КОМИТЕТ
ПО ИСПОЛЬЗОВАНИЮ
АТОМНОЙ ЭНЕРГИИ СССР

АТОМНАЯ
ЭНЕРГИЯ

Ежемесячный журнал
год издания двенадцатый

АТОМИЗДАТ ■ МОСКВА ■ 1968

Том 24 ■ Июнь ■ Вып. 6

РЕДАКЦИОННАЯ КОЛЛЕГИЯ:

А. И. АЛИХАНОВ, А. А. БОЧВАР, А. П. ВИНОГРАДОВ, Н. А. ВЛАСОВ (зам. главного редактора),
И. Н. ГОЛОВИН, Н. А. ДОЛЖЕЖАЛЬ, А. П. ЗЕФИРОВ, В. Ф. КАЛИНИН, Н. А. КОЛОКОЛЬЦОВ
(зам. главного редактора), А. К. КРАСИН, А. И. ЛЕЙПУНСКИЙ, В. В. МАТВЕЕВ, М. Г. МЕШЕ-
РЯКОВ, М. Д. МИЛЛИОНИЦЫКОВ (главный редактор), П. Н. ПАЛЕЙ, Д. Л. СИМОНЕНКО,
В. И. СМИРНОВ, В. С. ФУРСОВ, В. Б. ШЕВЧЕНКО.

СОДЕРЖАНИЕ

СТАТЬИ

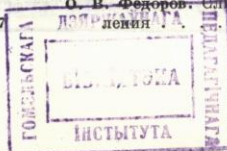
Н. В. Губкин, Д. Т. Десятников, И. К. Руднева. Преимущество применения метода подземного выщелачивания урана в условиях обводненных пластовых месторождений	511
А. И. Зубов, Г. Н. Котельников. Жильные твердые битумы в урановом месторождении	514
М. Х. Ибрагимов, А. В. Жуков. Метод расчета неравномерностей температур в пучках твэлов, охлаждаемых жидкими металлами	520
М. И. Ивановский, Ю. В. Милованов, В. И. Субботин. О характере зависимости коэффициента теплопередачи при капельной конденсации от температурного напора	523
И. Т. Мишев, М. Г. Христова. Исследование концентрации радиоактивного газа Ar ⁴¹ в воздухе, выбрасываемом через трубу реактора ИРТ-1000	530
И. А. Кондуров, А. И. Егоров, Д. М. Каминкер, Е. М. Коротких, А. М. Никитин. Измерение сечений захвата нейтронов радиоактивными ядрами Co ^{58m} , Cu ⁶⁴ и Sc ⁴⁶	533
В. И. Белоглазов, Ю. М. Базаев, А. К. Вальтер, В. А. Вишняков, Ф. С. Горюховатский, И. А. Гришаев, Ю. И. Добролюбов, Е. В. Еременко, А. И. Зыков, В. М. Кобаский, В. В. Кондратенко, Г. Ф. Куценко, Н. И. Мочешников, В. Б. Муфель, В. И. Мицков, В. В. Петренко. Линейный ускоритель электронов на 2 ГэВ Физико-технического института АН УССР	540
В. Б. Красовицкий, В. И. Курялко, М. А. Стражемечный. Неоднократная теория взаимодействия модулированного пучка с плазмой	545
Ю. В. Скостврев, Э. И. Юрченко. Движение пролетных частиц в системе с минимумом В	549
Ф. В. Кондратьев, Г. В. Синютин. Исследование работы цезиевого термоэмиссионного преобразователя с вольфрамовым катодом	553
В. С. Кессельман. Аналитические соотношения для расчета глубины проникновения ионов в вещество	557

АННОТАЦИИ ДЕПОНИРОВАННЫХ СТАТЕЙ

М. П. Леончук. Расчет переходных режимов парогенератора на ЦВМ	564
С. А. Коаловский, В. С. Кызыров, А. А. Сметанин. Определение потока быстрых нейтронов детектором ZnS(Ag) + плексиглас и детектором Бассона	564
В. А. Брикман, В. П. Савина. Исследование объемных полей поглощенных доз нейтронных излучений в полистиленовом образце	565
Б. А. Брикман, В. П. Савина. Экспериментальное исследование объемных полей поглощенных доз реакторного γ-излучения в полистиленовом образце	566
В. П. Громов, Ю. Ф. Зубов, Д. В. Позднеев. Рассеяние быстрых нейтронов железными и алюминиевыми барьерами	567

ПИСЬМА В РЕДАКЦИЮ

Л. И. Москвин, В. И. Портнягин. Влияние солей Na, K, Mg и Ca на экстракцию Ce и Y D2ЭГФК из кислых растворов	568
М. К. Юрт. Коррозия сталей и никелевых сплавов в расплавах натрийборосиликатных стекол при температурах 1000 и 1200° С	570
Г. Н. Маслов, Ф. Насыров, Н. Ф. Пашкин. Гаммаизлучение при взаимодействии нейтронов с энергией 14 МэВ с ядрами атомов B, C, N, O, F, Al	573
Г. И. Михайлов, Л. П. Старчик. Анализ лития по выходу реакции Li ⁷ (o, α')Li ^{7*}	575
В. А. Толстиков, В. П. Королева, В. Е. Колесов, А. Г. Довбенко, Ю. Н. Шубин. Радиационный захват быстрых нейтронов ядрами Sn ¹¹² , Sn ¹¹⁴ и Sb ¹²¹ , Sb ¹²³	576
Р. В. Джагапанян, Ю. Г. Ляскин, Л. И. Хейфец, В. И. Косоротов, В. И. Мукосей. Расчет коэффициента полезного действия шарового источника β-излучения	580
О. В. Федоров. Стодово-молибдатный тип зоны окисления ГА	582



1 235609
225473/m

месторождение по своим запасам, тем меньше будут удельные капитальные затраты.

В виде примера можно сослаться на месторождения, геологический разрез которого иллюстрирует рис. 1. Значительная обводненность горизонтов, расположенных выше и ниже рудносного пласта, высокие статические напоры и особенно приуроченность рудных залежей к водообильному горизонту создают весьма сложные условия отработки месторождения обычными методами. Они определяют необходимость проведения работ по предварительному водопонижению и осушению рудовмещающего горизонта и снятию напоров горизонтов, расположенных выше и ниже рудовмещающего. Вместе с тем указанные условия создают весьма благоприятную обстановку для отработки месторождения подземным выщелачиванием. Ввиду этого необходимо всячески избегать осушения и даже частично водопонижения на месторождении или отдельных участках, которые можно отрабатывать этим методом.

Экономические расчеты показали, что капитальные затраты на освоение такого месторождения классическим горным способом будут по крайней мере в два раза выше, чем при отработке его методом подземного выщелачивания. Себестоимость конечного продукта при подземном выщелачивании будет, как минимум, в два раза ниже, чем при шахтном способе. Это подтверждается отчетными данными существующих объектов.

В Советском Союзе насчитывается значительное количество обводненных месторожде-

ний урана осадочного типа, отработка которых обычными горными методами нерентабельна. Внедрение метода подземного выщелачивания при отработке этих месторождений высвободило бы большие капиталовложения и тем самым заметно снизило бы сложившуюся в стране себестоимость урана. В настоящее время на нескольких месторождениях Советского Союза ведутся экспериментальные работы по освоению метода подземного выщелачивания.

Широкое применение метода подземного выщелачивания урана послужило бы стимулом для геологов к доказыванию многих открытых месторождений урана, которая в настоящее время законсервирована из-за отсутствия рентабельных способов отработки.

Поступила в Редакцию 14/XII 1967 г.

ЛИТЕРАТУРА

1. Б. В. д. в. кн. «Материалы Международной конференции по мирному использованию атомной энергии (Женева, 1955)». Т. 6. М., Госгеолтехиздат, 1958, стр. 365.
2. Р. Шоу. Там же, стр. 397.
3. У. Вудманси. В кн. «Труды Второй международной конференции по мирному использованию атомной энергии (Женева, 1958)». Т. 8. М., Атомиздат, 1959, стр. 100.
4. Патенты США. К. В. Ливингстон. «Метод разработки руд выщелачиванием на месте их залегания», № 2, 818, 240, 31/XII 1957 г.; Д. Р. Меник. «Метод извлечения урана из залежи», № 2, 896, 930, 28/VII 1959 г.; Д. И. Дью, В. Л. Мартин. «Обжиг и выщелачивание урановых руд на месте их залегания», № 2, 954218, 27/IX 1960 г.

Жильные твердые битумы в урановом месторождении

А. И. ЗУБОВ, Г. Н. КОТЕЛЬНИКОВ

УДК #549:553.9

В настоящее время твердые битумы установлены во многих жильных гидротермальных месторождениях урана. Однако изучены они очень мало. Характеризуемое ниже гидротермальное жилье месторождение урана необычно, так как главным жильным минералом в основном типе руд этого месторождения является твердый битум, что и обуславливает специфику геологических поисков этих руд.

Краткие сведения о геологии района и некоторые особенности поисков рудных тел с урансодержащими твердыми битумами

Месторождение урана с твердыми битумами располагается в осевой части меридионально

ориентированной складчатой области, формирование которой закончилось в альпийскую фазу тектогенеза.

Радиометрическими методами (гамма-поиски масштаба 1 : 25 000 и шпуровая съемка масштаба 1 : 2000 с использованием сцинтиляционных радиометров) и сравнительно небольшим числом горных выработок оконтурено крупное рудное поле, расположенное среди пород кристаллического фундамента, представленных нижнепалеозойскими метаморфизованными хлорит-серicitовыми, биотит-мусковит-кварц-полевошпатовыми и кварц-графитовыми сланцами, амфиболитами, массивными кварцитами и мраморами.

В виде останцов на породах метаморфического комплекса лежат мезозойские отложения, начинающиеся базальными конгломератами триаса. Выше по разрезу залегают песчано-глинистые, мергелистые и известковые породы триаса, юры и мела.

Магматические породы представлены серией линейно ориентированных даек гранитоидного состава и мелкими дайками лампрофиров. Кроме того, обнаружено несколько небольших тел ортогнейсов гранодиоритового состава. Все эти породы относятся к герцинскому магматическому циклу. За пределами рудного поля в 15 км к западу обнажается интрузивное тело нефелиновых сиенитов. Интрузив прорывает только породы древнего кристаллического комплекса и возраст его не ясен. В 25 км от рудного поля находится зона меридионального простириания, сложенная вулканогенными образованиями третичного возраста. В пределах рудного поля имеется большое число термальных и минерализованных источников.

На плоскости рудного поля выделяются три системы разрывных нарушений. Наиболее четкими являются нарушения северо-северо-западного простириания, совпадающие с общим простирианием кристаллических сланцев. Эти сланцы падают на восток под углами 10–40°, а нарушения имеют почти вертикальное падение. Вторая система крутопадающих нарушений с азимутом простириания 50–70°. Во многих случаях обе системы нарушений выполнены дайками гранитоидного состава. Третья система разрывных нарушений представлена тектоническими зонами и трещинами северо-восточного простириания с азимутом 20–40°. Кроме трех систем крутопадающих нарушений в пределах рудного поля отмечены послойные зоны срыва с углами падения 10–40°.

При поисках и оценке рудопроявлений и месторождений урана с твердыми битумами были установлены факторы, присущие этому типу оруденения и определяющие методику поисковых работ.

В пределах рудных тел и вблизи них отмечается сильный сдвиг радиоактивного равновесия в ряду уран — радий. При документации и опробовании горных выработок распределение радиоактивных элементов характеризуется следующим образом: до глубины 0,5 м фиксируется неактивный, промытый поверхностью водами слой современных отложений; 0,5–1 м — коэффициент радиоактивного равновесия составляет более 600%; 1–1,5 м — коэффициент 200–300%; 1,5–2 м — коэффи-

cient 100% (равновесные руды); на глубине свыше 2 м — коэффициент 30–60%. На более глубоких горизонтах руды либо равновесные (коэффициент 100%), либо отмечается сдвиг в сторону урана на 10–30%.

В горизонтальной плоскости по мере удаления от коренных выходов рудных тел в рудном делювии наблюдается закономерный сдвиг радиоактивного равновесия в сторону радия. На расстоянии 150–200 м от известных рудных тел фиксируются чисто радиевые аномалии, находящиеся, как правило, на глубине 0,2–0,5 м от поверхности.

Активность на поверхности над рудными телами обычно равна 50–70 мкР/ч и только в отдельных случаях достигает нескольких сот мкР/ч . Резкое возрастание активности наблюдается при снятии не менее чем 30–40 см слоя современных почв. Вторичные минералы урана встречаются крайне редко. В хорошо промываемых речных долинах, в верхних частях выходящих на поверхность рудных жил, активность не наблюдается.

При большой расчлененности района, его плохой обнаженности и сильной залесенности, при локальных размерах аномальных участков и слабой интенсивности γ -излучения на выработках применение аэро-гамма-съемки совершенно неэффективно и наилучшие результаты получаются при наземных крупномасштабных гамма-поисках и шпуровой съемке (или съемке в закопушках).

Типы руд и их минеральный состав

Как уже указывалось, по данным радиометрической съемки и небольшого числа горных выработок устанавливаются контуры крупной трещинной зоны, в пределах которой размещаются рудные тела с настуроном и твердыми битумами. На месторождении имеется два типа руд. Руды первого типа связаны с крутопадающими трещинами северо-северо-западного простириания, совпадающего с простирианием вмещающих метаморфических пород. Рудные тела приурочены к прослоям карбонатизированного сланца среди брекчированных кварцитов. При формировании руд основными, по-видимому, были процессы метасоматоза: слюдистые компоненты сланцев (серцит, мусковит и хлорит) почти полностью замещаются настуроном, который переполнен остатками чешуек этих минералов (рис. 1). Таким образом, прослой слюдистого сланца представляет собой богатую руду, состоящую в основном из настурона (в даль-



Рис. 1. Настуран I (белый) с остатками (серые пластинчатые выделения) мусковита, серпнита и хлорита. Чёрное — карбонат и кварц. Полированный шлиф ($\times 600$).

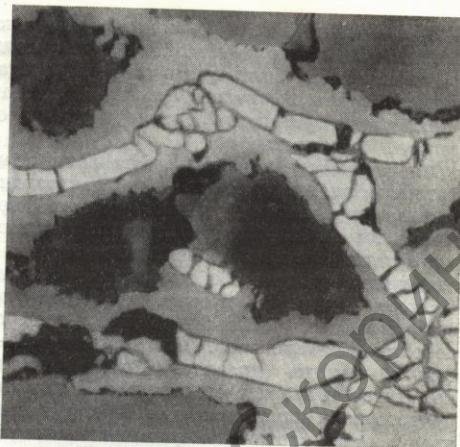


Рис. 3. Тонкие (около 0,01 мм) прожилки настурана II (серовато-белые), заключенные в антраксолит (серое), который лишь слегка (начальная стадия) расчленяет прожилки настурана на отдельные участки — обломки. Темно-серое — карбонат и кварцит. Чёрное — дефект полировки. Полированный шлиф ($\times 500$).



Рис. 2. Жилки антраксолита (серые), секущие настуран I; в них хорошо видны трещины усадки. Чёрное — дефект полировки. Полированный шлиф ($\times 120$).

нейшем названного настураном I). Оруденелый слюдяной сланец пересекается тонкими

(до 1 мм) жилками твердого битума (рис. 2), содержащего у краев жилок многочисленные включения настурана с реликтами слюд. В этих секущих жилках твердого битума с включениями настурана I наблюдаются и более тонкие прожилки настурана без остатков слюд (далее называемого настураном II).

Прожилки настурана II расчленены битумом, по-видимому, находившимся в вязко-жидком состоянии, на участки — своеобразные обломки, не претерпевшие вращения, но растянутые в большей или меньшей степени вдоль прожилков, что и позволяет реконструировать первичное залегание прожилков настурана. Тончайшие жилки твердого битума обнаруживаются под микроскопом и в контактирующем со слюдяными сланцами брекчированном кварците, скементированном анкеритом. Здесь также установлены микронные прожилки настурана II, лишь слегка расчлененные (начальная стадия) битумом на своеобразные обломки (рис. 3).

В тех случаях, когда прожилки, сложенные настураном II и твердыми битумами, пересекаются жилками железистого карбоната, в последнем отчетливо наблюдаются более темные (бурые) тонкие ореолы, сложенные, по-видимому, гидроокислями железа и возникшие

в результате облучения железистого карбоната [1].

Основные рудные тела сложены рудами второго типа. Они размещаются в северо-восточных трещинных зонах (третья система трещин), представляющих собой брекчированные метаморфические сланцы, скематизированные железистым карбонатом — анкеритом. К этим зонам приурочены скопления твердых битумов в виде жил и линз мощностью до 0,6 м, непрерывно прослеженных на десятки метров. Общая мощность зоны дробления с жилами и линзами твердых битумов достигает на глубине 60 м от поверхности 15—25 м. В пределах этой зоны твердые битумы составляют 10—15%.

Следует подчеркнуть, что, несмотря на значительное содержание урана в твердом битуме, макроскопические в черной массе рудных штуфов выделения настурана не видны. Только с помощью радиометра, микроскопа и радиографий можно установить, что это — богатые урановые руды. На радиографиях приполовиненных штуфов руд кроме прожилков настурана II устанавливаются сложнопостроенные почковидные агрегаты настурана, состоящие из мелких сферолитов, расчлененных, как и прожилки, битумом, по концентрическим роста и радиальным направлениям, отражающим первичное строение сферолитов, на отдельные секторы — своеобразные обломки. Участок одного из таких расчлененных на обломки сферолитов настурана представлен на микрофотографии (рис. 4).

Следует отметить, что центральные части почек настурана более насыщены битумом, обломки в них мелкие и растянуты на большие расстояния друг от друга, чем в периферических частях. Поэтому на радиографиях, представляющих попеченный срез бывших почковидных агрегатов настурана, центральные части почек (при определенной глубине среза) засвечиваются пластинку менее интенсивно, чем периферические. По границам расчлененных на обломки и растянутых почек настурана, а также в центральные части почек проникали более поздние растворы, отложившие карбонат и сульфиды (на радиографиях эти участки черные).

Влияние вязко-жидкого битума на расчленение почек настурана II на обломки и растягивание этих обломков по элементам внутреннего строения почек хорошо видно на микрофотографии участка полированного шлифа твердого битума, сделанной при скрещенных никодилях (рис. 5); явления анизотропии в твердом



Рис. 4. Часть сферолита настурана II, расчлененного антраксолитом на обломки, растянутые (без вращения) по радиальным первичным направлениям сферолита. Чёрное — дефект полировки. Полированный шлиф ($\times 200$).



Рис. 5. Почковидный микроагрегат настурана II, расчлененный антраксолитом на растянутые обломки. Между почками настурана (размер их не более 1 мм) имеется кайма антраксолита почти без обломков настурана. Антраксолит резко анизотропен. Полированный шлиф, никодил + ($\times 100$).

битуме исключительно четко вскрывают элементы внутреннего строения микропочек насту-

рана, расчлененных на обломки. Между растянутыми микропочками (размер их не более 1 мм) имеется кайма анизотропного твердого битума, но почти без обломков настурана. Этот твердый битум, несомненно, относится к той же разности, которая пропитывает сами почки. Вероятно, расчленение агрегатов настурана II было вызвано давлением раствора, из которого выпадал твердый битум, что обусловило вследствие хрупкости настурана и особенностей внутреннего строения его почковидных агрегатов появление своеобразных обломков, претерпевших ничтожное перемещение.

Настурэн II в обломках агрегатов, заключенных в твердом битуме, характеризуется параметром кристаллической решетки $a_0 = 5,38 \pm 5,41 \text{ \AA}$ (восемь определений).

Описанный твердый битум представлен сильно анизотропной разностью (см. рис. 5). В проходящем свете с краев слегка просвечивается красновато-бурым цветом. В тонких жилках твердого битума, рассекающих настурэн I, хорошо видны поперечные трещины усыхания (см. рис. 2).

По данным химического анализа типичного твердого битума (см. таблицу) соотношение углерода и водорода в нем (C/H) составляет около 30. Ни в каких органических растворителях твердый битум практически не растворяется. На основании приведенных данных твердый битум в соответствии со схемой классификации В. А. Успенского и др. [2] может быть отнесен к антраксолитам.

Результаты химического анализа твердого битума (вес. %)*

Компоненты	Исходная проба	Обеззоленная проба	Органическое вещество
Влага	3,92	7,53	—
Зола	44,20	0,59	—
Сера общ.	0,82	0,94	—
Сера сульфидн.	0,42	0,23	—
Сера орг.	—	0,71	0,77
Углерод	44,55	77,67	84,53
Водород	1,81	2,55	2,78
Азот + кислород	—	—	11,92
Газ	—	11,60	12,6
Вода	—	13,3	6,1
Деготь	Нет	Нет	Нет
Кокс	—	75,08	81,1

* Анализы выполнены в лаборатории Всесоюзного института минерального сырья под руководством В. А. Успенского.

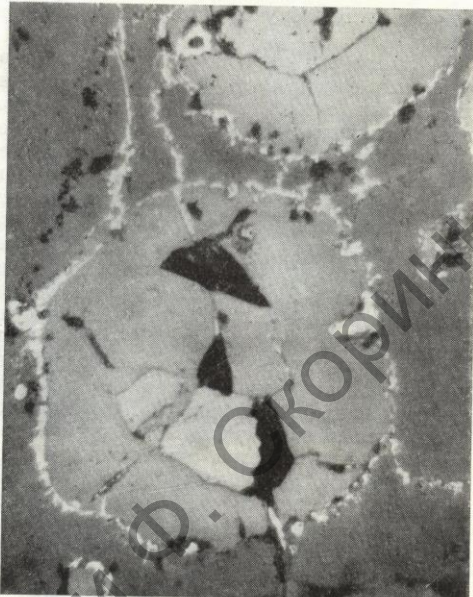


Рис. 6. Капли антраксолита с обломками настурана II в кварците. Белое — пирротин и халькопирит. Чёрное — дефекты полировки. Полированый шлиф ($\times 200$).

На месторождении почти нет жил и линз твердых битумов без настурана II. Даже отдельные, различимые лишь под микроскопом «капли» твердого битума содержат обломки агрегатов настурана (рис. 6). Лишь тщательное изучение образцов под микроскопом позволило установить наличие тончайших редких линз твердого битума, лишенного обломков агрегатов настурана II. Этот твердый битум заполняет промежутки между скоплениями твердого битума, насыщенного обломками агрегатов настурана II; отражательная способность его меньше, он изотропен. Выделить и проанализировать эту разность твердого битума не удалось. Условно он отнесен к керитам.

Из сульфидов, выпадавших близко по времени с настуреном и твердым битумом, нами установлен только галенит в виде редких, различимых простым глазом зерен. Основная масса сульфидов, представленных пиритом, халькопиритом, галенитом (редко), сфалеритом и пирротином вместе с белым карбонатом (доломитом), слагает пострудные прожилки.

О более позднем по сравнению с настураном II и твердым битумом образовании сульфидов свидетельствуют, в частности, тончайшие их каемки вокруг «капель» твердого битума (см. рис. 6). В этих прожилках установлены пылевидные выделения никелина (видимые лишь при больших увеличениях в иммерсии), обросшие каймой диарсенидов. Последние определены на основании их цвета (белые в отраженном свете), анизотропности, совместного нахождения с никелином и данных спектрального анализа руд (повышенные содержания мышьяка, никеля и кобальта).

Выводы

1. В результате проведенных исследований была установлена следующая последовательность формирования месторождения. В предрудную стадию закладывались зоны разломов северо-северо-западного и северо-восточного простирания, по которым поступали растворы, вызвавшие интенсивную карбонатизацию пород в зонах трещиноватости; в рудную стадию в северо-северо-западных зонах разломов формировались руды первого типа, образовавшиеся путем метасоматоза и сложенные преимущественно настураном I, а в северо-восточных зонах трещиноватости руды — второго типа, представленные антраксолитом и настураном II. Для руд этого типа, видимо, наиболее характерны процессы заполнения открытых полостей. В пострудную стадию трещины, примерно перпендикулярные рудовмещающим, заполнились карбонатом (доломитом) и сульфидами с ничтожно малым количеством никелина и диарсенидов никеля и кобальта. Пострудные процессы проявились слабо и не привели к разубоживанию уранового оруденения.

2. Описываемое урановое месторождение с твердыми битумами является типично жильным гидротермальным образованием, формирование которого обусловлено пульсирующим поступлением по трещинам эндогенных растворов. Твердые битумы (антраксолит, керит), как и обычные жильные минералы (например, карбонаты), заполняют трещинные полости. Аналогичные наблюдения сделаны В. Г. Мельковым, А. М. Сергеевой и А. А. Горшковым, изучавшими жильное гидротермальное месторождение урана в другом районе. Формирование твердых битумов происходило после отложе-

ния настуранов I и II, видимо, близко по времени к моменту образования настурана II. Твердые битумы,形成的авшиеся из эндогенных растворов, в начальные моменты, вероятно, проходили фазу пластического состояния. Однако для суждения о процессах, приведших к формированию твердых битумов в их современном виде (высокополимеризованные анизотропные антраксолиты), собранных материалов недостаточно.

Следует отметить, что наряду с описанными твердыми битумами нафтoidной природы, участвующими вместе с другими минералами в образовании эндогенных гидротермальных месторождений, существуют урансодержащие твердые битумы, образующиеся из нафтидов в экзогенных условиях [3].

3. Расчленение антраксолитом прожилков и почковидных агрегатов настурана обусловлено механическим воздействием и сопровождалось незначительным перемещением образовавшихся обломков агрегатов настурана.

В работах [4, 5] отмечены явления метасоматического замещения настурана вязко-жидким битумом, превратившимся в дальнейшем в антраксолит. В процессе метасоматического замещения настурана формировался коффинит в виде густой дисперсной вкрапленности в антраксолите. Нами эти явления не наблюдались.

4. При поисках месторождений урана с твердыми битумами необходимо учитывать факт смещения равновесия в сторону урана в коренных выходах руд и сильное смещение равновесия в сторону радия в делювиальном слое рудных свалов, а также наличие на поверхности совершенно неактивного слоя мощностью 0,25—0,5 м.

Поступила в Редакцию 18/III 1965 г.
В окончательной редакции 29/I 1968 г.

ЛИТЕРАТУРА

1. В. С. Карпенко. В сб. «Вопросы прикладной радиогеологии». М., Госатомиздат, 1963, стр. 157.
2. В. А. Успенский и др. «Тр. Всес. н.-и. геол.-развед. нефт. ин-та». Вып. 185. Л., 1961.
3. А. И. Зубов. «Геология рудных месторождений», № 5, 6 (1960).
4. Ю. М. Дымков. В сб. «Вопросы прикладной радиогеологии». М., Госатомиздат, 1963, стр. 128.
5. Б. В. Бордин, Ю. М. Дымков. «Атомная энергия», 16, 432 (1964).